

文章编号: 1000-324X(2008)01-0019-04

# 层状钙钛矿 $\text{LaSr}_2\text{Mn}_{2-x}\text{Cu}_x\text{O}_7$ 的结构、磁性及电特性

韩立安, 陈长乐, 高国棉

(西北工业大学 陕西省凝聚态结构与性质重点实验室, 西安 710072)

**摘要:** 利用固相反应烧结法制备了层状钙钛矿锰氧化物  $\text{LaSr}_2\text{Mn}_{2-x}\text{Cu}_x\text{O}_7$  多晶样品. 通过 X 射线衍射仪、超导量子干涉仪、直流四探针法对其结构和磁性、电特性进行了研究. 结果表明, 样品均为  $\text{Sr}_3\text{Ti}_2\text{O}_7$  型单相多晶, 属四方晶系, 空间群为  $I4/mmm$ . 10%Cu 的替代, 破坏了  $\text{LaSr}_2\text{Mn}_2\text{O}_7$  的电荷有序态, 从而呈现出一种典型的自旋玻璃特性, 在  $T=225\text{K}$  发生自旋冻结. 电性测量表明, Cu 的替代, 破坏了  $\text{LaSr}_2\text{Mn}_2\text{O}_7$  的导电特性, 使此材料在整个观察的温区呈现绝缘体特性, 进一步影响了其输运性.

**关键词:** 层状钙钛矿;  $\text{LaSr}_2\text{Mn}_{2-x}\text{Cu}_x\text{O}_7$ ; 磁性; 电特性

**中图分类号:** TN 29 **文献标识码:** A

## Structure, Magnetic and Electric Properties of Layered Perovskite

### $\text{LaSr}_2\text{Mn}_{2-x}\text{Cu}_x\text{O}_7$

HAN Li-An, CHEN Chang-Le, GAO Guo-Mian

(Shaanxi key Laboratory of Condensed Matter Structures and Properties, Northwest Polytechnical University, Xi'an 710072, China)

**Abstract:** Layered perovskite  $\text{LaSr}_2\text{Mn}_{2-x}\text{Cu}_x\text{O}_7$  polycrystalline samples were prepared by solid state reaction. Structure and magnetic as well as electric properties were investigated by X-ray diffraction, superconductor quantum interference device and direct current four probe method. The samples have the single phase with layered perovskite structure and the space group is  $I4/mmm$ . The substitution of 10% copper destroys the charge order of  $\text{LaSr}_2\text{Mn}_2\text{O}_7$ . Characteristic spin glass state occurs on the  $\text{LaSr}_2\text{Mn}_{2-x}\text{Cu}_x\text{O}_7$ , and the spin frozen temperature is near 225K. The electric properties show that the  $\text{LaSr}_2\text{Mn}_2\text{O}_7$  sample's conduction characters are influenced by the substitution of 10% Cu, which keeps in the insulator state from 77K to room temperature. At the same time, transport properties are changed by the substitution of 10% copper.

**Key words:** layered perovskite;  $\text{LaSr}_2\text{Mn}_{2-x}\text{Cu}_x\text{O}_7$ ; magnetic properties; electrical properties

## 1 引言

近年来, 钙钛矿锰氧化物由于丰富的物理特性 (如庞磁电阻效应、金属 - 绝缘体相变等) 及潜在的应用价值成为国内外科研工作者广泛研究的热点<sup>[1,2]</sup>. 钙钛矿锰氧化物实际上是 Ruddlesden Popper(RP) 系列化合物中的一种, 其通式为  $(\text{Ln},\text{M})_{n+1}\text{Mn}_n\text{O}_{3n+1}$ , 可以看作是由  $\text{MnO}_6$  八面体

共顶相连而成的钙钛矿型结构层, 这些八面体在  $ab$  平面内无限延伸, 但在  $c$  轴方向上每隔  $n$  个  $\text{MnO}_6$  八面体就被一层  $(\text{Ln},\text{M})\text{O}$  岩盐层 (rock-salt Layer) 分隔开, 如此交叠堆积起来. 所以其通式又可以写为  $[(\text{Ln},\text{M})\text{MnO}_3]_n(\text{Ln},\text{M})\text{O}$ . 当  $n = \infty$  时为  $\text{ABO}_3$  型钙钛矿结构, 具有三维 Mn-O-Mn 网络, 在适当的掺杂区域内表现出铁磁金属性和庞磁电阻效应. 对于  $n=2$  的 RP 相,  $(\text{Ln},\text{M})_3\text{Mn}_2\text{O}_7$ , 结构上可以看

收稿日期: 2007-01-05, 收到修改稿日期: 2007-03-16

基金项目: 国家自然科学基金 (50331040, 60171034)

作者简介: 韩立安 (1975-), 男, 博士研究生. E-mail: hanlianvivi@sohu.com; chencl@nwpu.edu.cn

成双层钙钛矿与岩盐层交替堆积而成, 构成了天然的铁磁金属层 - 绝缘体层 - 铁磁金属层的隧道结构. 与无限层钙钛矿结构材料相比, 各向异性的结构导致层状结构锰氧化物各种物理性质的各向异性, 并且降低了磁电阻对磁场的要求, 从而使层状钙钛矿结构锰氧化物引起了科研工作者的极大兴趣<sup>[3,4]</sup>. 1996 年 Moritomo<sup>[5]</sup> 等人首先制备并研究了层状结构锰氧化物  $\text{La}_{1.2}\text{Sr}_{1.8}\text{Mn}_2\text{O}_7$  单晶, 观察到了超大磁电阻效应和铁磁转变. 由于其结构上的各向异性, 双层锰氧化物在磁性和输运行为上表现了强烈的各向异性. 对于空穴浓度为 50% 的层状钙钛矿  $\text{LaSr}_2\text{Mn}_2\text{O}_7$ , 因电荷有序和反铁磁耦合而引起了人们的广泛关注<sup>[6]</sup>. 实验表明<sup>[7,8]</sup>, 对于母体是金属铁磁性的体系, Mn 位掺杂都会显著降低金属 - 绝缘体转变温度, 增大电阻率, 在高掺杂情况下导致绝缘态行为. 究其原因, 总体上可以认为是掺杂破坏了体系的长程铁磁有序, 减弱了体系的双交换作用. 目前虽然对无限层钙钛矿结构锰氧化物的锰位掺杂有了深入的研究<sup>[9-12]</sup>, 但对层状结构锰氧化物进行锰位掺杂研究的还不多. 本工作选择锰位铜掺杂, 主要考虑在钙钛矿型的铜氧化物中, Cu 的 3d 电子与 O 的 2p 电子发生杂化, 导致反铁磁超交换作用, 如果将 Cu 掺入, 可能会将这种超交换作用带入体系, 与原有的双交换作用竞争, 产生一些新的结果, 故本工作研究了 Cu 掺杂对  $\text{LaSr}_2\text{Mn}_2\text{O}_7$  磁电特性的影响.

## 2 实验与测试

将高纯度的  $\text{La}_2\text{O}_3$ ,  $\text{MnO}_2$ ,  $\text{SrCO}_3$ ,  $\text{CuO}$  按照化学剂量比称料, 经研磨 6h 的均匀混合物在  $900^\circ\text{C}$  烧结 24h, 预烧后的粉末再研磨 3h, 分别在  $1100^\circ\text{C}$  和  $1300^\circ\text{C}$  下烧结 40h, 再次研磨后压片, 在  $1400^\circ\text{C}$  通入氧气烧结 72h, 即可得到层状钙钛矿锰氧化物  $\text{LaSr}_2\text{Mn}_{2-x}\text{Cu}_x\text{O}_7$ . 用 Rigaku D/Max-2400 型 X 射线衍射仪分析样品的晶体结构, 用 MPMS-7 型超导量子干涉仪 (SQUID) 测量其磁性, 用直流四端法测量材料的电性.

## 3 结果与分析

$\text{LaSr}_2\text{Mn}_{2-x}\text{Cu}_x\text{O}_7$  块体的 X 射线衍射结果见图 1. 所有的图谱中没有出现  $\text{La}_2\text{O}_3$ ,  $\text{SrCO}_3$ ,  $\text{MnO}_2$ ,  $\text{CuO}$  以及  $(\text{LaSrMn})\text{O}_3$  和  $(\text{LaSr})_2\text{MnO}_4$  的衍射峰, 说明样品为纯的层状钙钛矿结构. 由于  $\text{Cu}^{2+}/\text{Cu}^{3+}$  的离子半径 (0.0701nm/0.068nm) 和  $\text{Mn}^{3+}/\text{Mn}^{4+}$  的

半径 (0.0645nm/0.053nm) 接近, 而和  $\text{La}^{3+}/\text{Sr}^{2+}$  的半径 (0.136nm/0.144nm) 相差很大, 若 Cu 替位在 La/Sr 位必然造成晶格常数的明显改变. 从此图可以看出, Cu 的掺杂, 并未引起衍射峰位的明显变化, 因此可以断定 Cu 离子确实替位在 Mn 位上. 对衍射数据进行分析后发现, 样品均为  $\text{Sr}_3\text{Ti}_2\text{O}_7$  型单相多晶, 属四方晶系, 空间群为  $I4/mmm$ . 当  $x=0$  和 0.1 时, 晶胞参数分别为  $a=0.3873\text{nm}$ ,  $c=1.9972\text{nm}$ ;  $a=0.3871\text{nm}$ ,  $c=1.9977\text{nm}$ .

当  $H_{\text{app}}=0.01\text{T}$  时,  $\text{LaSr}_2\text{Mn}_{2-x}\text{Cu}_x\text{O}_7$  块体的零场冷却 (ZFC) 和场冷却 (FC) 磁化强度与温度变化关系如图 2 所示. 可以看出,  $x=0$  时, 在低温下, 体系是 A 型反铁磁, 即层内是铁磁排列, 层间是反铁磁排列, 其奈尔温度  $T_N=103\text{K}$ .  $T=215\text{K}$  时, 由于  $\text{Mn}^{3+}$  的  $d_z^2$  轨道的有序排列, 从而在 ab 面内形成 Z 字型的链导致了电荷有序态.  $x=0.1$  时, Cu 对 Mn 的替代, 导致此体系出现了 Cu-O-Mn 键, 在高温超导铜氧化物中,  $p-d\sigma$  轨道杂化引起的超交换作用使 Cu 离子自旋反铁磁排列. 因此 Cu 掺杂锰氧化物中的反铁磁关联抑制了 Mn 离子间的双交换作用, 破坏了  $\text{MnO}_2$  双层内的铁磁微畴.  $e_g$  电子被局域在  $\text{Mn}^{3+}$  离子, 而且 Mn 离子的芯自旋

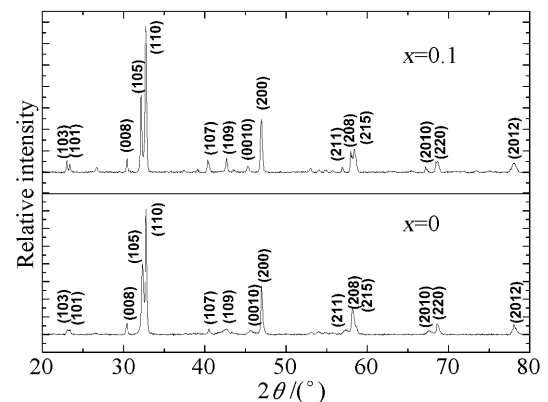


图 1  $\text{LaSr}_2\text{Mn}_{2-x}\text{Cu}_x\text{O}_7$  块体的 XRD 图谱

Fig. 1 XRD patterns of  $\text{LaSr}_2\text{Mn}_{2-x}\text{Cu}_x\text{O}_7$  bulk

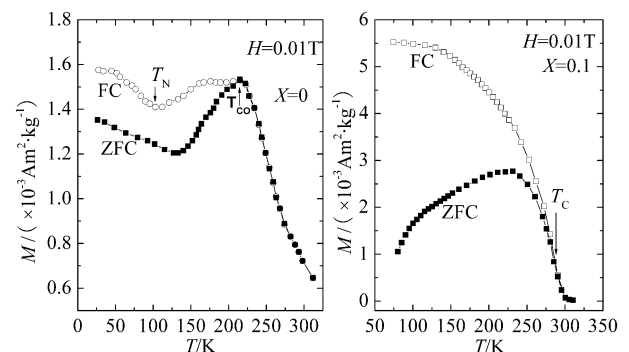


图 2  $\text{LaSr}_2\text{Mn}_{2-x}\text{Cu}_x\text{O}_7$  的磁化强度曲线

Fig. 2 Magnetization results of  $\text{LaSr}_2\text{Mn}_{2-x}\text{Cu}_x\text{O}_7$

不再关联, 从而破坏了  $\text{LaSr}_2\text{Mn}_2\text{O}_7$  体系的电荷有序, 出现了自旋玻璃态<sup>[13]</sup>. 对于  $\text{LaSr}_2\text{Mn}_{1.9}\text{Cu}_{0.1}\text{O}_7$ , 存在  $\text{Mn}^{3+}$  和  $\text{Mn}^{4+}$  两种, 它们之间的耦合作用可以是双交换作用, 也可以是超交换作用. 双交换作用使 Mn 离子之间呈现铁磁耦合, 超交换作用使 Mn 离子之间呈现反铁磁耦合. 由于离子的分布是随机的, 两种交换作用也就随机分布共存. 一定量的掺杂, 可以使该体系既不出现长程铁磁有序, 也不出现长程反铁磁有序, 两者之间竞争的结果, 使此体系表现出自旋玻璃态. 从此图还可以看出, 样品的自旋冻结温度约为 280K, 这和  $\text{ABO}_3$  型钙钛矿中观察到的自旋玻璃态有很大的不同. 经分析后认为, 造成这种很大差别的原因主要有: (1)  $\text{LaSr}_2\text{Mn}_2\text{O}_7$  块体具有独特的准二维结构, 使得 Mn-O-Mn 键在 ab 面内中断, 在面间的磁交换作用减弱, 从而导致在局部范围内存在很大的各向异性. (2) 由于  $\text{Cu}^{2+}$  的半径比  $\text{Mn}^{3+}$  和  $\text{Mn}^{4+}$  离子的半径大得多. 所以 Mn 位 Cu 的替代, 一方面将使局部的晶格发生较大的畸变, 使面与面之间的交换作用减弱, 另一方面使面内的部分 Mn-O-Mn 键中断, 进一步减弱了双交换作用, 从而增强了超交换作用. 由文献可知  $\text{LaSr}_2\text{Mn}_2\text{O}_7$  在低温时是铁磁性, 由于上述原因, 在铁磁作用下反铁磁作用逐步加强而形成两种交换作用竞争的局面, 从而使得自旋冻结在较高温度出现.

图 3(a) 和 3(b) 分别为  $\text{LaSr}_2\text{Mn}_2\text{O}_7$  和  $\text{LaSr}_2\text{Mn}_{1.9}\text{Cu}_{0.1}\text{O}_7$  的电阻率及磁电阻与温度的变化关系. 对于  $\text{LaSr}_2\text{Mn}_2\text{O}_7$ , 在  $T_{\text{MI}}=150\text{K}$  时发生金属-绝缘体转变. 而对于  $\text{LaSr}_2\text{Mn}_{1.9}\text{Cu}_{0.1}\text{O}_7$ , 在整个测量的温区均表现出绝缘体特性. 由此可见, 仅 10%Cu 离子的替代, 使样品的导电特性发生了本质的变化. 磁电阻定义为  $MR = \frac{\rho_0 - \rho_H}{\rho_0} \times 100\%$ , 其中  $\rho_0$  和  $\rho_H$  分别为零场和磁场为 1T 下样品的电阻率. 对于  $\text{LaSr}_2\text{Mn}_2\text{O}_7$ , 在 130K 左右出现了 CMR 效应, 其磁电阻极大值为 24%. 而对于  $\text{LaSr}_2\text{Mn}_{1.9}\text{Cu}_{0.1}\text{O}_7$ , 呈现出典型的颗粒间磁电阻特征. 在 1T 磁场下其低温磁电阻达到 14.2%, 比文献 [14] 报道的颗粒间磁电阻高出约一倍多, 且最大磁电阻不是出现在居里温度附近, 这与  $\text{ABO}_3$  型钙钛矿磁电阻效应出现在居里温度附近有所不同.  $\text{LaSr}_2\text{Mn}_2\text{O}_7$  的输运特性拟合结果如图 4 所示. 分别用变程跳跃模式、热激活输运机制以及最近邻小极化子输运机制拟合后发现: 当  $T < T_{\text{MI}}$  时, 其输运机制满足二维变程跳跃模式  $\rho(T) = \rho_0 \exp(T_0/T)^{1/3}$ ,  $T > T_{\text{MI}}$  时, 其输运机制满足最近邻小极化子模式.

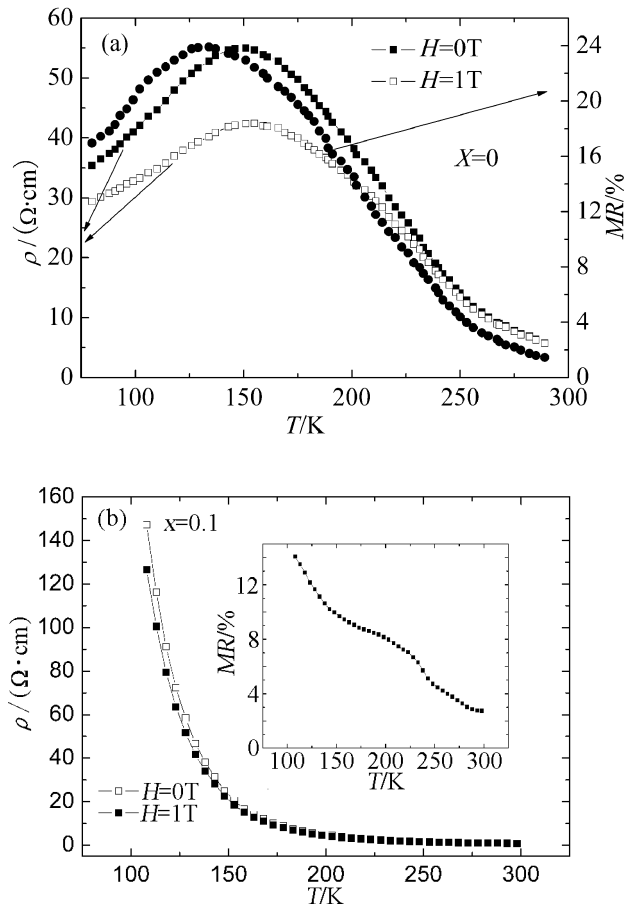


图 3  $\text{LaSr}_2\text{Mn}_{2-x}\text{Cu}_x\text{O}_7$  的电阻率及  $MR$  与温度变化的关系

Fig. 3 Variation of resistivity and  $MR$  of  $\text{LaSr}_2\text{Mn}_{2-x}\text{Cu}_x\text{O}_7$  with temperature

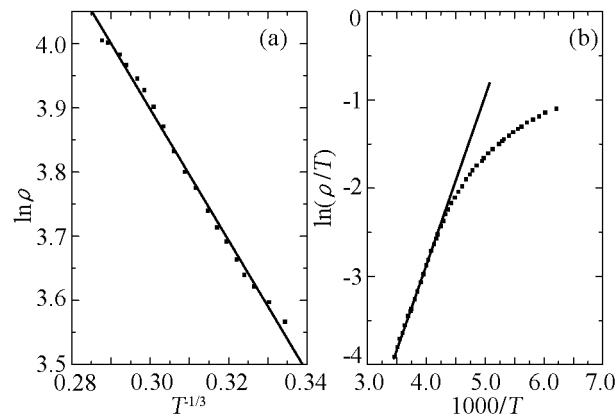


图 4  $\text{LaSr}_2\text{Mn}_2\text{O}_7$  的输运特性

Fig. 4 Transport properties of  $\text{LaSr}_2\text{Mn}_2\text{O}_7$

(a)  $T < T_{\text{MI}}$ ; (b)  $T > T_{\text{MI}}$

对于  $\text{LaSr}_2\text{Mn}_{1.9}\text{Cu}_{0.1}\text{O}_7$ , 在所测量的温度范围内, 样品的输运特性属于最近邻小极化子跃迁机制, 拟合结果如图 5 所示. 根据图 4 和图 5, Cu 的替代也破坏了  $\text{LaSr}_2\text{Mn}_2\text{O}_7$  的输运特性. 随着温度的升高, 由于 Jahn-Teller 效应导致晶格畸变, 使得自旋、电荷和声子之间的耦合加强,  $e_g$  电子引起

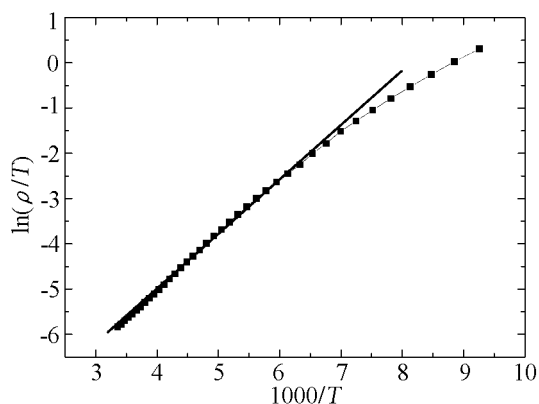


图 5 LaSr<sub>2</sub>Mn<sub>1.9</sub>Cu<sub>0.1</sub>O<sub>7</sub> 的输运特性

Fig. 5 Transport properties of LaSr<sub>2</sub>Mn<sub>1.9</sub>Cu<sub>0.1</sub>O<sub>7</sub>

周围晶格极化, 畸变的晶格极化场对此电子相当于一个势阱, 对电子起到束缚作用, 从而形成尺寸小于晶胞大小的准粒子 - 小极化子. 由于  $e_g$  电子处于局域态, 从而使激活能增大, 电子不能在高温区跃迁, 从而使最近邻小极化子跃迁表现为主要的输运特性.

#### 4 结论

通过固相反应烧结法制备了层状钙钛矿锰氧化物 LaSr<sub>2</sub>Mn<sub>2-x</sub>Cu<sub>x</sub>O<sub>7</sub> 多晶样品. 对其结构、磁电及输运特性进行了研究. 结果发现, 对于 LaSr<sub>2</sub>Mn<sub>2</sub>O<sub>7</sub>, 10%Cu 的替代, 并没有影响其晶体结构, 却破坏了 LaSr<sub>2</sub>Mn<sub>2</sub>O<sub>7</sub> 的电荷有序态, 使其呈现出一种典型的自旋玻璃特征. 电性测量表明, Cu 的替代, 破坏了 LaSr<sub>2</sub>Mn<sub>2</sub>O<sub>7</sub> 的导电特性, 使此材料在整个观

察的温区呈现绝缘体特性, 进一步影响了其输运特性.

#### 参考文献

- [1] Myron B Salamon, Marcelo Jaime. *Rev. Mod. Phys.*, 2001, **73** (3): 583-628.
- [2] 祝向荣, 沈鸿烈, 沈勤我, 等 (Zhu Xiangrong, *et al*). 无机材料学报 (Journal of Inorganic Materials), 1999, **14** (6): 915-920.
- [3] Sunil Nair, Banerjee A. *Phys. Rev. B*, 2004, **70** (11): 104427-104431.
- [4] Joongoo Dho, Kim W S, Hur N H. *Phys. Rev. B*, 2001, **65** (9): 24404-24409.
- [5] Motitomo Y, Asamitsu A, Kuwahara H, *et al.* *Nature*, 1996, **380** (2): 141-144.
- [6] Wilkins S B, Spencer P D, Beale T A. *Phys. Rev. B*, 2003, **67** (8): 205110-205114.
- [7] Subhayan Biswas, Sandip Chatterjee, Chatterjee P, *et al.* *Phys. Rev. B*, 2002, **66** (7): 214403-214409.
- [8] Weigand F, Gold S, Schmid J, *et al.* *Appl. Phys. Lett.*, 2002, **81** (9): 2035-2037.
- [9] 鲁毅, 李庆安, 邸乃力, 等. 物理学报, 2003, **52** (6): 1520-1523.
- [10] Sun J R, Rao G H, Gao X R, *et al.* *J. Appl. Phys.*, 1999, **85**(7): 3619-3622.
- [11] Kallel N, Dezanneaub G, Dhahria J, *et al.* *J. Magn. Magn. Mater.*, 2003, **261** (1): 56-65.
- [12] Yuan X B, Liu Y H, Yin N, *et al.* *J. Magn. Magn. Mater.*, 2006, **306** (2): 167-171.
- [13] Mydosh J A. *Spin glass*. London: Taylor and Francis. 1993. 1-100.
- [14] 陈春霞, 章建辉, 钱天, 等. 材料科学与工程学报, 2005, **23** (1): 23-27.